

риментом необходимо вычисление коэффициента  $c(\alpha)$  по одной из экспериментальных точек. На рисунке приведено сравнение формул (2) для цилиндрического случая с результатами экспериментов по детонации линейного заряда ВВ в неоднородной по плотности атмосфере [4] ( $\alpha = \text{const}$ ). Величина  $c(\alpha)$  вычислена в точке A. Совпадение расчета с экспериментом для двух различных градиентов плотности показывает справедливость формул (2).

Автор благодарен С. Ф. Чекмареву за ряд полезных советов.

#### ЛИТЕРАТУРА

1. Л. И. Седов. Методы подобия и размерности в механике. М.: Наука, 1981.
2. П. И. Чушкин, Л. В. Шуршалов.— В кн.: Итоги науки и техники. Сер. Механика жидкости и газа. Т. 16. ВИНИТИ, 1981.
3. Я. Б. Зельдович, Ю. П. Райзэр. Физика ударных волн и высокотемпературных газодинамических явлений. М.: Физматгиз, 1963.
4. В. И. Мали, С. А. Новопашин, Г. А. Храмов и др.— В кн.: Механика быстропротекающих процессов. Новосибирск, 1984.

Поступила в редакцию 18/VI 1985

### ИЗМЕРЕНИЕ ОСТАТОЧНЫХ ТЕМПЕРАТУР В ЦИЛИНДРИЧЕСКИХ АМПУЛАХ СОХРАНЕНИЯ

Д. Л. Гурьев, С. С. Бацанов

(Менделеево)

Для сохранения веществ в физике динамических давлений используются цилиндрические ампулы сохранения [1, 2]. Измерение остаточных температур в стенках цилиндрических ампул — цель настоящей работы.

Первая серия экспериментов проводилась на установке, аналогичной [3]. Цилиндрические ампулы 2 специальной конструкции (рис. 1) прикреплялись к массивной стальной плите 5, что обеспечивало их неподвижное положение в момент и после импульсной нагрузки и позволяло вводить в них термопары. Ампула с внешним диаметром 10 мм и высотой 50 мм готовилась цельной из стали ЗОХГСА и термообрабатывалась до твердости 35—37 HRC. Она крепилась в капсуле 3, которая в свою очередь ввинчивалась в плиту.

Остаточная температура стенок ампул сохранения измерялась дифференциальными термопарами константан — Ст. ЗОХГСА, причем одним из электродов служил материал ампулы, другим — константановая фольга толщиной 100 мкм. В результате динамического сжатия термопара не изменила своих термоэлектрических свойств, что проверялось снятием калибровочной кривой термопары, обработанной импульсным давлением. Измеренное значение коэффициента термо-ЭДС термопары составило 41 мкВ/град. Рабочий спай 6 размещался на глубине 2 мм от поверхности и на расстоянии 30 мм от верхнего торца ампулы. Спай сравнения 4 размещен таким образом, что температура его сохранялась постоянной во время опыта.

Сигнал регистрировался двумя запоминающими осциллографами С8-13, имеющими различные скорости развертки, равные 10 мс/дел и 10 с/дел, что позволяло регистрировать временной диапазон  $10^{-3}$ — $10^2$  с. Запуск разверток осуществлялся синхронно с подачей команды на подрыв. После каждого ударно-волнового нагружения проверялся отклик термопары на пробный температурный сигнал с целью определения сохранности термопары. Ошибка в измерении остаточной температуры составляла 10 %.

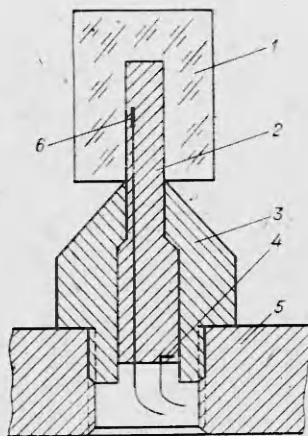


Рис. 1.

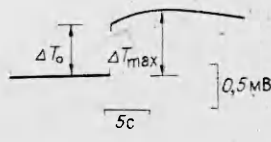


Рис. 2.

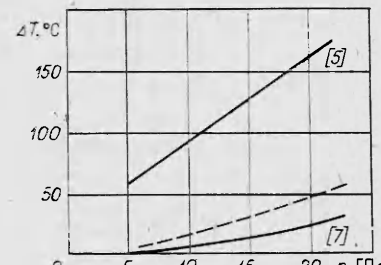


Рис. 3.

Для создания ударной волны в ампуле использовался цилиндрический энергоноситель 1 диаметром 40 мм: тротил плотностью 1,0 г/см<sup>3</sup>, тексоген плотностью 1,0 и 1,4 г/см<sup>3</sup>.

Типичная осциллограмма остаточной температуры представлена на рис. 2, где  $\Delta T_0$  — разность температур непосредственно после сжатия динамической нагрузкой и начальной стенки ампулы. Максимум изменения остаточной температуры, которому соответствует  $\Delta T_{\max}$ , объясняется наличием более сильного разогрева осевой части ампулы маховским конусом с последующим выравниванием температур.

Во второй серии опытов измерялись  $\Delta T$  цилиндрических ампул сохранения, изготовленных из Ст. 3. Последние имели внешний диаметр 12 и высоту 50 мм. Испытывались цельные ампулы и с центральным отверстием (диаметр отверстия 5, глубина 40 мм). Поскольку сохранить термопары в таких условиях достаточно сложно, остаточные температуры определялись калориметрически. Через 15 с после подрыва ампула помещалась в резервуар с маслом и по изменению его температуры измерялась  $\Delta T$ . Предварительно калориметр градуировался по реферным точкам плавления и кипения воды. Стандартные ампулы сохранения, имеющие известную температуру, помещались в калориметр и измерялась температура масла после выравнивания температур в калориметре.

Результаты обеих серий представлены в таблице. Давление в точке Чепмена — Жүге для использовавшихся энергоносителей определялось по [4]. Динамические пределы текучести взяты из работы [6].

Результаты настоящей работы показывают зависимость остаточной температуры ампулы не только от давления, но и от жесткости конструкции, которая определяется геометрическим фактором и прочностью материала ампулы. Такое поведение величины  $\Delta T$  объясняется пластическими течениями, интенсивность которых зависит от прочностных свойств кон-

| Материал, конструкция ампулы    | $p_{Ч-Ж}$ | $p_a$ | $\sigma_t$ | $\Delta T_0$ | $\Delta T_{\max}$ | $T_0^{\text{тэф}}$ | $T_0^{(+15^\circ)}$<br>[7] |
|---------------------------------|-----------|-------|------------|--------------|-------------------|--------------------|----------------------------|
| Ст. ЗОХГСА, цельная             | 6,6       | 5,9   | 2,99       | 0            | 6                 | 1                  | —                          |
| То же                           | 12,0      | 10,3  | 2,99       | 17           | 24                | —                  | —                          |
| Ст. 3, цельная                  | 12,0      | 10,3  | 1,36       | —            | 47                | 4                  | 90                         |
| Ст. 3, с центральным отверстием | 12,0      | 10,3  | 1,36       | —            | 81                | —                  | —                          |
| Ст. ЗОХГСА                      | 26,0      | 17,0  | 2,99       | 36           | 60                | 16                 | 140                        |

П р и м е ч а н и е.  $p_{Ч-Ж}$ ,  $p_a$  — давление в точке Чепмена — Жүге и в стенке ампулы, ГПа;  $\sigma_t$  — динамический предел текучести, ГПа; температуры в °С.

струкции. Экспериментальные измерения в диапазоне давлений, сравниваемых с  $\sigma_t$ , отличаются от расчетных значений, вычисленных по гидродинамической модели с изоэнтропийной разгрузкой [5, 7], не учитывающих прочностных свойств материала.

Интересно сравнить результаты настоящей работы с температурными измерениями другими методами (рис. 3). В [7] для определения  $\Delta T$  применялись инфракрасные детекторы InSb — HgCdTe, работающие при 77 К, и использовалась плоская схема ударно-волнового нагружения. Как отмечают авторы, значения  $\Delta T$  при  $p = 10$  ГПа имеют большую погрешность, что связано с работой детекторов на пороге чувствительности и с трудностями определения степени черноты тела, и являются, по-видимому, несколько завышенными.

В настоящих опытах использовалась цилиндрическая схема нагружения, при этом материал ампулы нагружался серией последовательных отраженных волн. Первая входящая в ампулу волна имеет наибольшую амплитуду и вносит наибольший вклад в температуру. Давление в первой ударной волне рассчитывалось методом ударных поляр с учетом эффекта радиального схождения и представлено в таблице. Следующие отраженные волны, количество которых определяется отношением диаметров энергоносителя и ампулы, выравнивают давление в стенке ампулы и в продуктах детонации. Как показывают расчеты, давление в первой входящей волне на 10—20 % меньше, чем в продуктах детонации.

Сравнение результатов [7], настоящей работы и расчетов по гидродинамической модели показывает (см. рис. 3), что остаточная температура, измеренная термопарным методом, лежит между расчетной и измеренной оптическим методом и граничит с ними в крайних точках, что объясняется влиянием сил прочности на поведение материала при динамической нагрузке.

В ампулах сохранения остаточная температура динамического сжатия определяется как амплитудой нагрузки и термодинамическими свойствами материала, так и жесткостью конструкции. Использование контактных методов для измерения  $\Delta T$  перспективно в применении к непрозрачным средам, и в случае использования тонких пленок позволяет приблизиться к тепловой инерционности ( $10^{-8}$  с) оптических методов [8, 9].

В заключение авторы выражают благодарность А. В. Гранкину и В. Ф. Сазонову за помощь в подготовке и проведении опытов.

#### ЛИТЕРАТУРА

1. С. С. Бацанов. ИФЖ, 1967, 12, 1, 104.
2. С. П. Першин, Г. И. Канель. Деп. ВИНИТИ, № 1446—70.
3. С. С. Бацанов и др. ФГВ, 1968, 4, 1, 108.
4. А. Н. Дремин и др. Детонационные волны в конденсированных средах. М.: Наука, 1970.
5. J. M. Walsh, R. H. Christian. Phys. Rev., 1955, 97, 6, 1544.
6. А. Г. Иванов и др. ФТТ, 1963, 5, 1, 269.
7. S. A. Raikes, T. J. Ahrens. Geophys. J. R. Astr. Soc., 1979, 58, 717.
8. D. D. Bloomquist, S. A. Sheffield. J. Appl. Phys., 1980, 51, 5260.
9. K. Kondo, A. Sawaoka. J. Appl. Phys., 1981, 52, 1590.

Поступила в редакцию 3/I 1985,  
после доработки — 31/V 1985